

IV. Détection de contours

- **EXERCICE 3 : Comparer quantitativement les filtrages de Prewitt, Sobel et Roberts sur une image 128x128 composée d'une première moitié grise légèrement foncée (à gauche), à 45% de luminosité, et d'une autre moitié grise plus claire à droite (à 55% de luminosité), puis bruitée (bruit Gaussien additif de moyenne nulle et de variance 0.001).**

(Commencer par un seuil de, par exemple, 0.25 pour Prewitt, sauver l'image bruitée afin de ne pas la changer à chaque exécution du programme => faire donc deux routines : une pour créer l'image bruitée, l'autre pour la traiter.)

(Faire ça en 3 étapes : (a) générer l'image bruitée (1^{ère} routine) ; (b) en déduire les images de contour binaires pour un nombre fixé de fausses alarmes (2^{ème} routine) ; (c) compléter la 2^{ème} routine par le calcul de la probabilité de détection pour chacun des 3 cas de paire de filtres.)

(Discuter la taille des images filtrées « valides » avec Prewitt ou Sobel d'une part et Roberts d'autre part...)

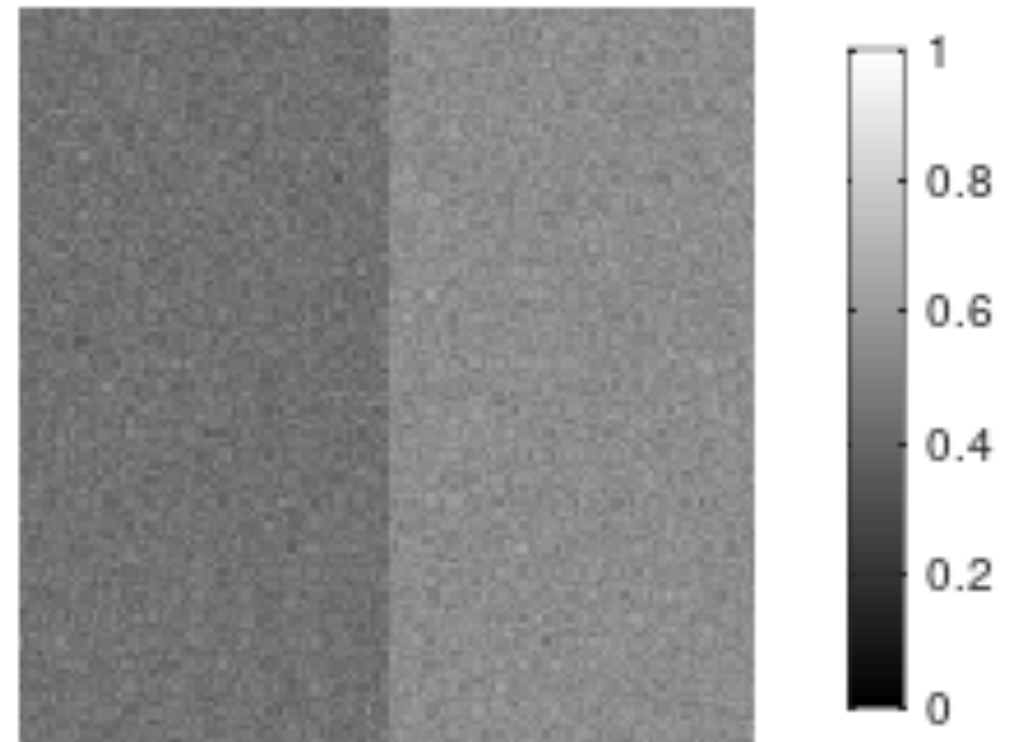
IV. Détection de contours

```
1 clear
2 close all
3
4 % image test
5 dim=128; I=.55*ones(dim,dim); I(:,1:dim/2)=.45;
6 figure, colormap(gray)
7 subplot(1,2,1), imshow(I), title('image'), colorbar
8
9 % bruit gaussien additif
10 J=imnoise(I, 'gaussian', 0., 1e-3);
11 subplot(1,2,2), imshow(J), title('image+bruit'), colorbar
12
13 % sauver l'image de test bruitée
14 save image_bruit J
```

image



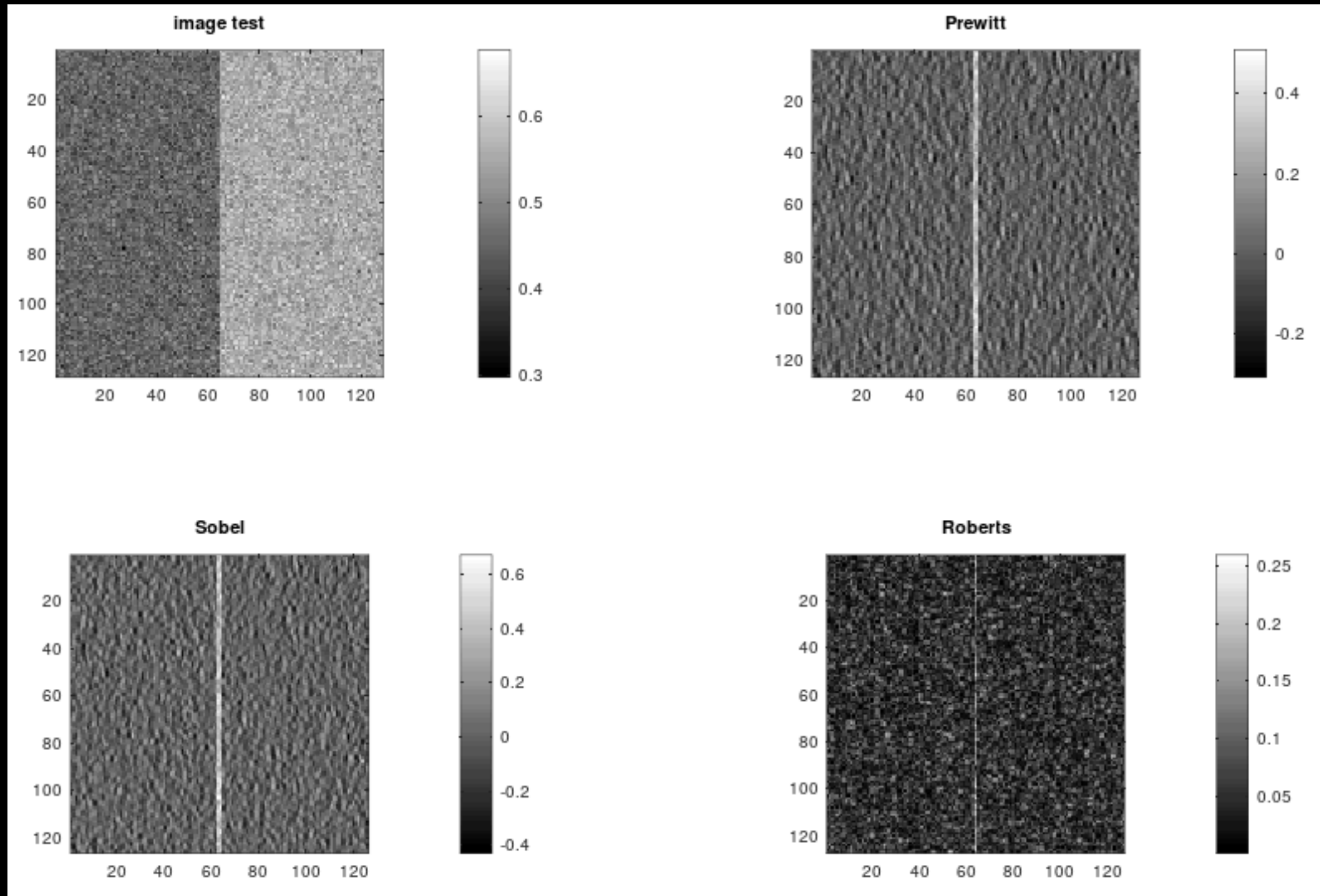
image+bruit



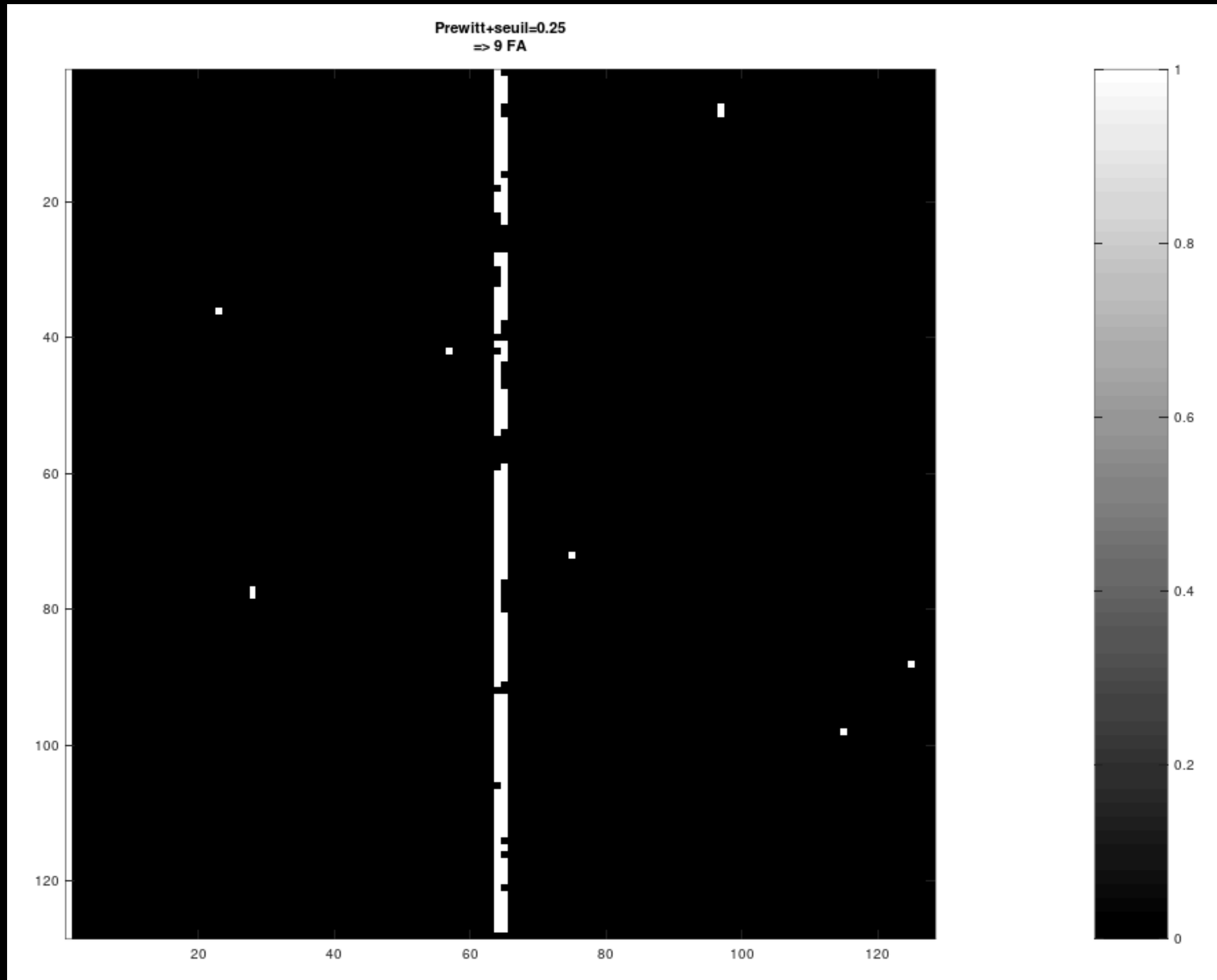
IV. Détection de contours

```
1 clear
2 close all
3 pkg load image
4
5 %---
6 % load image from disk
7 load image_bruit, whos J
8 % figure 1
9 figure(1), colormap(gray)
10 subplot(2,2,1), imagesc(J), title('image test'), colorbar, axis('square')
11 %---
12 % Prewitt
13 Ph=fspecial('prewitt'); Pv=-Ph'; JP=filter2(Pv,J, 'valid');
14 subplot(2,2,2), imagesc(JP), title('Prewitt'), colorbar, axis('square')
15 %---
16 % Sobel
17 Sh=fspecial('sobel'); Sv=-Sh'; JS=filter2(Sv,J, 'valid');
18 subplot(2,2,3), imagesc(JS), title('Sobel'), colorbar, axis('square')
19 %---
20 % Roberts
21 Ra=[1 0;0 -1]; Rb=rot90(Ra,-1);
22 JRa=filter2(Ra,J, 'valid'); JRb=filter2(Rb,J, 'valid');
23 JR=sqrt(JRa.*JRa+JRb.*JRb);
24 subplot(2,2,4), imagesc(JR), title('Roberts'), colorbar, axis('square')
25 %---
26 % comparaison des images uniques de contours seuillées
27 % seuillages
28 seuilP=.25; JPs=JP>seuilP;
29 seuilS=.362; JSs=JS>seuilS;
30 seuilR=.175; JRs=JR>seuilR;
31 % figure 2
32 figure(2), colormap(gray)
33 imagesc(JPs), title(['Prewitt+seuil=', num2str(seuilP)]; '=> 9 FA')), colorbar
34 axis('square')
35 % figure 3
36 figure(3), colormap(gray)
37 imagesc(JSs), title(['Sobel+seuil=', num2str(seuilS)] ; '=> 9 FA')), colorbar
38 axis('square')
39 % figure 4
40 figure(4), colormap(gray)
41 imagesc(JRs), title(['Roberts+seuil=', num2str(seuilR)]; '=> 9 FA')), colorbar
42 axis('square')
```

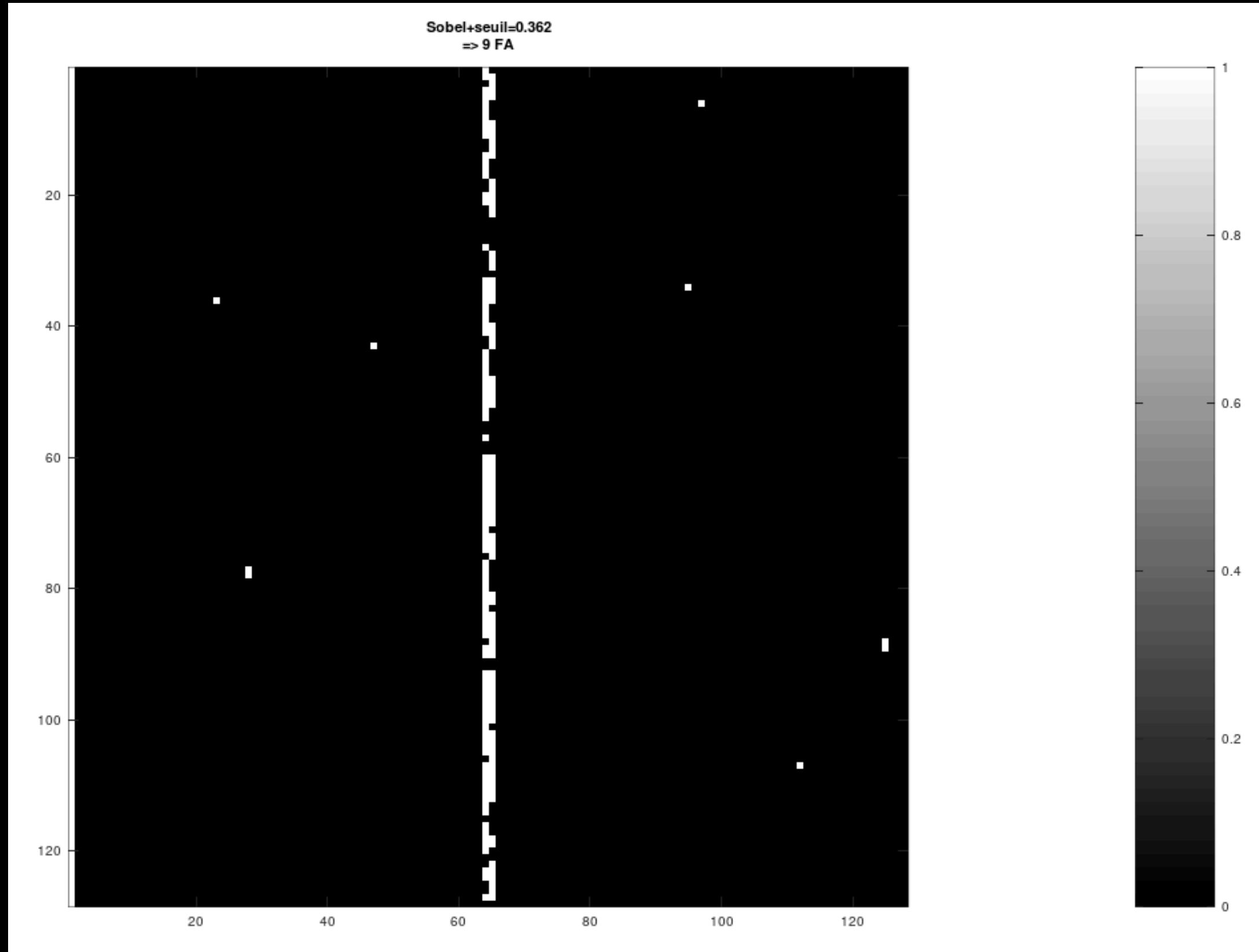
IV. Détection de contours



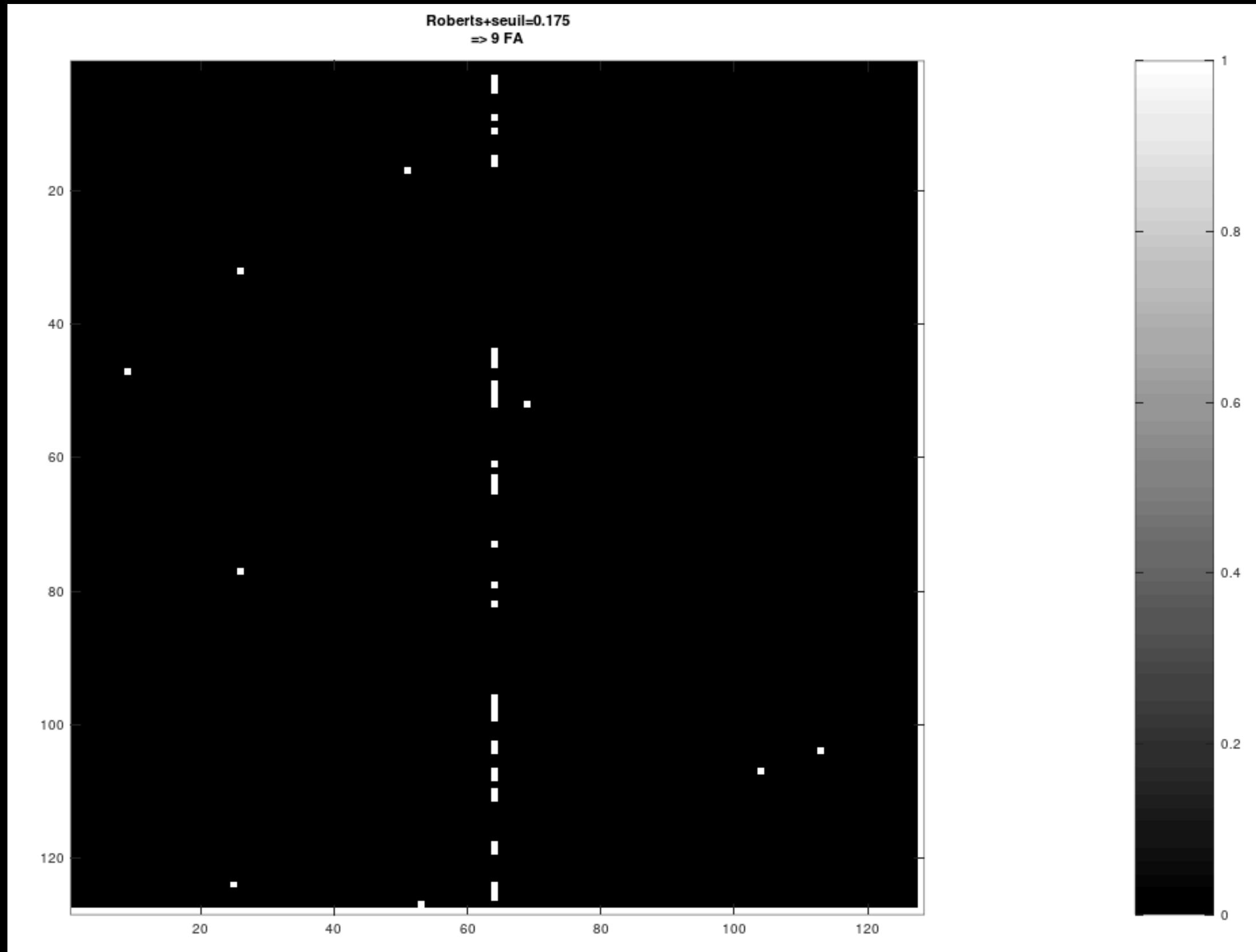
IV. Détection de contours



IV. Détection de contours



IV. Détection de contours



IV. Détection de contours

```
43 %---
44 % mise en évidence du contour
45 % somme sur les colonnes
46 sumP=sum(JPs); sumS=sum(JSs); sumR=sum(JRs);
47 % détection du contour
48 dimP = (size(JPs))(1);
49 dimS = (size(JSs))(1);
50 dimR = (size(JRs))(1);
51 gooP = sumP(dimP/2:dimP/2+1);
52 gooS = sumS(dimS/2:dimS/2+1);
53 gooR = sumR((dimR+1)/2);
54
55 { '-----' ;
56 'Détection du contour...' ;
57 '-----' ;
58 ['Prewitt : ', num2str(dimP), ' ', num2str(gooP)] ;
59 ['Sobel   : ', num2str(dimS), ' ', num2str(gooS)] ;
60 ['Roberts : ', num2str(dimR), ' ', num2str(gooR)] ;
61 '-----' }
62 % => probabilités de détection
63 { '-----' ;
64 '=> Probabilités de détection...' ;
65 '-----' ;
66 ['Prewitt : ', num2str(sum(gooP)/(2*dimP))] ;
67 ['Sobel   : ', num2str(sum(gooS)/(2*dimS))] ;
68 ['Roberts : ', num2str(sum(gooR)/dimR)] ;
69 '-----' }
```

```
dummy=size(JPs), dimP = dummy(1);
dummy=size(JSs), dimS = dummy(1);
dummy=size(JRs), dimR = dummy(1);
```

```
ans =
{
 [1,1] = -----
 [2,1] = Détection du contour...
 [3,1] = -----
 [4,1] = Prewitt : 126 107 97
 [5,1] = Sobel   : 126 95 83
 [6,1] = Roberts : 127 36
 [7,1] = -----
}
```

```
ans =
{
 [1,1] = -----
 [2,1] = => Probabilités de détection...
 [3,1] = -----
 [4,1] = Prewitt : 0.80952
 [5,1] = Sobel   : 0.70635
 [6,1] = Roberts : 0.28346
 [7,1] = -----
}
```

- Conclusion : Prewitt > Sobel >> Roberts
- Mais : Roberts détecte un « vrai » bord, de 1 pixel de large (pas 2)...

IV. Détection de contours

	Δ_P	FA	Δ_S	Δ_R	P_d^P	P_d^S	P_d^R
Paul-Antoine	0,25	5	0,355	0,181	76%	62%	30%
Zina	0,25	9	0,34	0,171	77%	72%	33%
Sara	0,25	9	0,34	0,1716	76%	74%	35%
Olivier	0,25	12	0,365	0,1713	73%	59%	25%
Mohamed	0,25	11	0,355	0,178			
Saadine	0,25	4	0,36	0,22			
Jennifer	0,25	8	0,375	0,174	73	57	31
Noar	0,299	9	0,42	0,165			
Henric	0,257	12	0,3492	0,167	74	67	29

IV. Détection de contours

- **EXERCICE 3 (suite) : Calculer les P_{fa} correspondantes « à la main ». Puis coder ce calcul de P_{fa} de manière à le rendre automatique.**

IV. Détection de contours

Théoriquement, on doit avoir : $P_{fa}^P = P_{fa}^S = 9/(126 \times 124) \simeq 5.7604 \cdot 10^{-4}$

$$P_{fa}^R = 9/(127 \times 126) \simeq 5.6243 \cdot 10^{-4}$$

Et en effet :

```
71 %---
72 % probabilité de fausse alarme
73 FA_ga_P = sum(sumP(1:dimP/2-1));
74 FA_dr_P = sum(sumP(dimP/2+2:dimP));
75 FA_ga_S = sum(sumS(1:dimS/2-1));
76 FA_dr_S = sum(sumS(dimS/2+2:dimS));
77 FA_ga_R = sum(sumR(1:(dimR+1)/2-1));
78 FA_dr_R = sum(sumR((dimR+1)/2+1:dimR));
79 {'-----' ;
80 'Probabilité de fausse alarme' ;
81 '-----' ;
82 ['Prewitt : ', num2str((FA_ga_P+FA_dr_P)/((dimP-2)*dimP))] ;
83 ['Sobel   : ', num2str((FA_ga_S+FA_dr_S)/((dimS-2)*dimS))] ; ans =
84 ['Roberts : ', num2str((FA_ga_R+FA_dr_R)/((dimR-1)*dimR))] ; {
85 '-----' }
      [1,1] = -----
      [2,1] = Probabilité de fausse alarme
      [3,1] = -----
      [4,1] = Prewitt : 0.00057604
      [5,1] = Sobel   : 0.00057604
      [6,1] = Roberts : 0.00056243
      [7,1] = -----
      }
```


IV. Détection de contours

- **EXERCICE 3bis (en format TP également) : Partir de $P_{fa} \approx 1\%$, en déduire le nombre de fausses alarmes (N_{fa}) correspondant (pour chaque cas : Prewitt, Sobel, Roberts), en déduire alors (pour chaque cas aussi) le seuil nécessaire (en comptant automatiquement N_{fa}), puis calculer les $P_{dét.}$ résultantes à partir des images de contour unique seuillées correspondantes.**

$P_{fa}=1\% \Rightarrow N_{fa} = 156$ pour Prewitt et Sobel (1% de 124x126) et $N_{fa} = 160$ pour Roberts (1% de 126x127).

IV. Détection de contours

128 x 128

	Δ_P	Δ_S	Δ_R	P_d^P	P_d^S	P_d^R
- Antoine	0,175	0,251	0,127	95%	92%	70%
Zine	0,181	0,25	0,129	94%	93%	67%
Olivier	0,184	0,26	0,139	95%	92%	46%

$$\Delta_{\text{Prewitt}} = \sqrt{-2 \times 0,006 \times Q_u(0,01)} \approx 0,23$$
$$\Delta_{\text{Sobel}} = \sqrt{-2 \times 0,012 \times Q_u(0,01)} \approx 0,33$$
$$\Delta_{\text{Roberts}} = \sqrt{-2 \times 0,002 \times Q_u(0,01)} \approx 0,13$$

IV. Détection de contours

- De manière théorique, on peut prévoir la valeur du seuil qui donne une certaine probabilité de fausse alarme :

$$P_{f.a.} = \exp\left(-\frac{s^2}{2\sigma^2}\right) \Rightarrow s = \sqrt{-2\sigma^2 \ln(P_{f.a.})}$$

Avec : variance = somme des carrés des coeff. du filtre x variance du bruit Gaussien présent dans l'image filtrée.

Et : P_{fa} = nombre de fausses alarmes/nombre total de pixels qui ne sont pas du contour.

6	0.006	(124x126)	0.00057604
Ici : variance = $12 \times 0.001 = 0.012$;	Et : $P_{fa} = 9 / (124 \times 126) \approx 0.00057604$		
2	0.002	(126x127)	0.00056243

D'où : $S_{Prewitt} = \sqrt{-2 \cdot \ln(0.00057604) \cdot 0.006} \approx 0.299$ (à comp. au 0.250 utilisé)
 $S_{Sobel} = \sqrt{-2 \cdot \ln(0.00057604) \cdot 0.012} \approx 0.423$ (à comp. au 0.362 utilisé)
 $S_{Roberts} = \sqrt{-2 \cdot \ln(0.00056243) \cdot 0.002} \approx 0.173$ (à comp. au 0.175 utilisé)